

رنگزدایی از پساب صنعت کاغذ و بسته‌بندی با استفاده از فرآیندهای اکسایش فنتون و شبه فنتون

ویدا زهری^{*}، الهام کشمیری زاده^{**}

تاریخ دریافت مقاله: خرداد ماه ۱۳۹۵

تاریخ پذیرش مقاله: مهر ماه ۱۳۹۵

چکیده

امروزه با استفاده از اکسیدکننده‌های کارا، امکان رنگزدایی و حذف انواع آلاینده‌های آلی سرطانزا از فاضلاب کارخانه خمیر و کاغذ از یک سو و نیز امکان تخریب لیگنین، ترکیبات فنلی و همی سلولزهای موجود در خمیر حل شونده مورد استفاده در صنایع بسته‌بندی از سوی دیگر میسر می‌گردد. در بسیاری از مطالعات نشان داده شده که ساختار پیچیده و آروماتیکی رنگها به عنوان الگو و نماینده برگزیده‌ای از ترکیبات سمی مورد نظر در صنعت خمیر و کاغذ هستند و چنانچه اکسیدکننده‌ای بتواند مولکول رنگ را تخریب نماید، به طور حتم می‌تواند سایر ترکیبات آلی سمی مشکله این صنایع را نیز تجزیه و تخریب کند. در این مطالعه، عملکرد فرآیندهای اکسایش پیشرفتۀ فنتون و شبه فنتون، برای رنگزدایی و حذف انواع آلاینده‌های آلی از پساب رنگی صنعت کاغذسازی و بسته‌بندی ارزیابی گردیدند. در این مطالعه به عنوان نمونه، تجزیه محلول آبی حاوی رنگ "اسید سبز ۲۰" بررسی شده است. مهم‌ترین شاخص‌های عملیاتی در حذف رنگ از این پساب‌ها، تعیین و بهینه‌سازی شدن از عوامل عبارتند از: pH اولیه، غلظت اکسیده، غلظت و نوع کاتالیزگر [آهن (II,III,IV)، سریم، پتاسیم، آلومینیوم، سدیم و روی]، غلظت اولیه رنگ، شدت جریان پساب ورودی و حجم اولیه پساب، در نهایت پس از گذشت مدت زمان ۱۰ دقیقه، درصد راندمان حذف رنگ ۹۹٪ و درصد راندمان حذف اکسیژن مورد نیاز شیمیایی برای پساب شبیه‌سازی شده رنگی به ۹۳٪ و برای پساب حقیقی کاغذسازی به ۹۰٪ رسید که بیانگر تجزیه و تخریب رنگ و سایر مواد آلی، به مواد غیرسمی و بی‌رنگ، توسط اکسیداسیون فنتون و شبه فنتون است. همچنین ارزیابی حذف پساب در دو مقیاس غیرپیوسته و نیمه پیوسته انجام گردید. در این مطالعه مشخص گردید که علاوه بر کاتالیزگر آهن دو ظرفیتی با متنشأ سولفات آهن در فرآیند فنتون، آهن موجود در فرات پتاسیم و نیز سریم موجود در آمونیوم سریم نیترات، به طور جداگانه قادر می‌باشد که فرآیندهای اکسیداسیون شبه فنتون را سریع‌تر و با درصد راندمان حذف رنگ برابر ۹۹٪ به خوبی هدایت کنند. مکانیسم اکسیداسیون فنتون با مدل سینتیک درجه اول تطابق قابل قبولی را نشان داد ($R^2 = 0.987$) و ثابت سرعت k_1 برابر $(1/min)^{4.3} / 0$ تعیین گردید.

واژه‌های کلیدی

- گروه شیمی کاربردی، واحد کرج، دانشگاه آزاد اسلامی، کرج، ایران. vida.zohari@gmail.com
- گروه شیمی کاربردی، واحد کرج، دانشگاه آزاد اسلامی، کرج، ایران.

۱- مقدمه

نگاره ای از بسته بندی با استفاده از فرآیندهای اکسایش فتوسترن و بسته بندی با استفاده از رنگ زدایی اکسید کننده های سلولزی

کارملین^{۱۳} استفاده گردید و از آنجا که تخریب و رنگ زدایی این رنگ ها با ماده اکسید کننده در کمتر از یک ساعت با موفقیت انجام شد، محققین نتیجه گرفتند که نفوذ ماده اکسید کننده به درون انواع مواد مورد استفاده در صنعت بسته بندی نیز در حذف میکرووارگانیسم ها موفقیت آمیز خواهد بود [۷]. استفاده از مواد اکسید کننده مانند واکنشگرهای فتون در تخریب لیگنین و همی سلولزهای^{۱۴} موجود در خمیر حل شونده (یا خمیر با آلفای زیاد^{۱۵}) و یا مشتقات حاصله از آن در صنایع بسته بندی همواره مورد توجه بسیاری از پژوهشگران می باشد [۸ و ۹]. همچنین از مواد اکسید کننده در از بین بردن بوی لپید^{۱۶} یا چربی در بسته بندی انواع گوشت استفاده شده است [۱۰]. کاربرد دیگر مواد اکسید کننده به ویژه واکنشگر فتون^{۱۷} در رنگ زدایی و حذف انواع آلاینده های سلطانزا از فاضلاب و پساب کارخانه خمیر و کاغذ و بسته بندی است [۱۱ و ۱۳]. در اغلب پژوهش ها به این موضوع اشاره شده که چون ساختار ترکیبات رنگی، شامل هیدروکربن های بسیار پیچیده متشکل از دو یا چند حلقه آروماتیک می باشند، بنابراین مطالعه و بررسی ترکیبات رنگی می تواند تشابه سازی دقیقی از اغلب ترکیبات بکار رفته در صنعت بسته بندی مانند لیگنین، همی سلولزها، اسید های فنلی، پروتئین ها و یا انواع مواد آلی موجود در صنعت خمیر و کاغذ و یا بسته بندی باشد و به دنبال آن چنانچه تحت شرایط عملیاتی مناسب، ماده اکسید کننده ای بتواند تخریب و حذف ترکیبات آلی رنگی را انجام دهد بدون تردید، قادر است کلیه ترکیبات آلی سمی و مزاحم در صنعت کاغذ سازی و بسته بندی را تجزیه نماید.

در سال های اخیر، فرآیندهای اکسایش پیشرفته (AOPs) به طور گسترده مورد توجه می باشند زیرا راندمان حذف رنگ در این گونه روش ها بالاست به ویژه برای

پساب های رنگی صنایع کاغذ سازی، چوب، بسته بندی و نیز نساجی از مهم ترین آلاینده ها برای محیط زیست محسوب می شوند و به خاطر موجود بودن مواد آلی و معدنی مختلف مانند لیکور سیاه^۱، رزین و عصاره چوب، رنگ دانه های مصنوعی، تانن^۲ (نوعی از اسید های فنلی)، اسید های آلی آروماتیک^۳، ترپن ها^۴ و فرا اورده های تخریبی حاصل از واکنش کلر و لیگنین^۵ و نیز باقی ماندن غلظت زیاد رنگ در طی عملیات فرآیندی، ناگزیر حجم انبوهی از آب آلووده شده با کلیه مواد شیمیایی بر جای می ماند [۱ و ۳]. این ترکیبات به علت داشتن بار منفی، یونی بوده و به علت ماکرومولکول^۶ بودن دارای وزن مولکولی بسیار بالا است و آب گریز و غیر قطبی می باشند. از سوی دیگر، ترکیبات رنگی موجود در آب، مانع از رسیدن نور خورشید به منابع آبی شده و بنابراین در عملیات فتوسترن^۷ اختلال ایجاد می کنند و تعادل اکولوژیکی^۸ را برهم می زنند [۴]. از سوی دیگر، بسیاری از رنگ ها یا متابولیت های بر جای مانده از تجزیه آن ها حتی در غلظت های اندک، به شدت سمی و سلطانزا بوده و موجب نقص ژنتیکی و جهش نامناسب در حیات آبزیان و انسان ها می شوند [۵ و ۶].

امروزه از انواع اکسید کننده ها از جمله گاز ازن برای غیرفعال کردن میکرووارگانیسم ها^۹ بر روی مواد غذایی بسته بندی شده استفاده می شود، به طوری که در یک روش نیمه کمی^{۱۰} از واکنش گاز ازن به طور جداگانه با هر یک از رنگ های ایندیگو تری سولفونات^{۱۱} و رنگ ایندیگو

1- Black Liquor

2- Tannin

3- Phenolic Acid

4- Aromatic

5- Terpenes

6- Lignin

7- Macromolecule

8- Photosynthesis

9- Ecological Equilibrium

10- Microorganisms

11- Semi Quantitative Method

12- Indigo Trisulfonate Dye

13- Indigo Carmine Dye

14- Hemicellulose

15- Alpha- Cellulose Dissolving Pulp

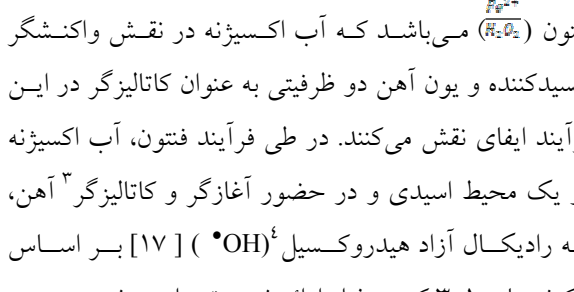
16- Lipid

17- Fenton's Reagent

فقطنامه علمی- ترویجی علوم و فنون

بسته بندی

یکی از مهم‌ترین فرآیندهای اکسایش پیشرفت‌ه، فرآیند فتون (Fe²⁺) می‌باشد که آب اکسیژنه در نقش واکنشگر اکسیدکننده و یون آهن دو ظرفیتی به عنوان کاتالیزگر در این فرآیند ایگای نقش می‌کنند. در طی فرآیند فتون، آب اکسیژنه در یک محیط اسیدی و در حضور آغازگر و کاتالیزگر^۳ آهن، به رادیکال آزاد هیدروکسیل^۴ (OH⁻) [۱۷] بر اساس واکنش‌های ۱-۳ که در ذیل ارائه شده، تبدیل می‌شود:



رادیکال آزاد هیدروکسیل تولید شده، به پیوند دو گانه در مولکول رنگ (شامل گروه آزو^۵ و حلقه‌های آروماتیک) حمله کرده و به این ترتیب رنگزدایی پساب رنگی انجام می‌گردد. خاطر نشان می‌سازد که فرآیند فتون صرفاً با وجود یون آهن دو ظرفیتی واکنش‌گر سولفات آهن/ آب اکسیژنه تعريف می‌گردد، حال آنکه چنانچه به جای آهن دو ظرفیتی از هر گونه یون فلزی دیگر و با هر ظرفیتی در حضور آب اکسیژنه (Fe²⁺)، فرآیند اکسایش پیشرفت‌ه برقرار گردد آن را شبه فتون^۶ می‌نامند [۱۸ و ۱۹]. از جمله مزایای فرآیند اکسایش پیشرفت‌ه (فتون و شبه فتون) عبارتند از: کاهش مصرف انرژی جهت آمایش پساب، سادگی و ارزان بودن

1- Heterogeneous Catalysts

2- Mineralization

3- Catalyst

4- Hydroxyl Free Radical

5- Azo Group

6- Semi Fenton

عملیات، حجم بسیار کم لجن، زمان کوتاه فرآیند و راندمان بالای حذف آلاینده.

در این مطالعه رنگزدایی از رنگ "اسید سبز^۷"^۸ توسط فرآیندهای اکسایش پیشرفت‌ه فتون و شبیه فتون مورد بررسی قرار می‌گیرد. بررسی اثر مهم‌ترین شاخص‌های عملیاتی فرآیند از قبیل: pH اولیه، غلظت ماده اکسیدکننده، مقدار کاتالیزگر آهن، غلظت اولیه رنگ در پساب، حجم اولیه پساب، میزان شدت جریان ورودی پساب در جریان نیمه پیوسته، اثر زمان واکنش و نوع کاتالیزگر فلزی بر روی راندمان حذف رنگ انجام گردیده است. پس از تعیین بهترین شرایط عملیاتی، دسترسی به میزان حداقل آلاینده‌گی رنگ میسر گردید. همچنین در شرایط بهینه معرفی شده، میزان اکسیژن خواهی شیمیایی^۹ (COD) باقی‌مانده نیز تعیین گردید که نشانگر تخریب رنگ به طور کامل بود. در طی انجام فرآیند از ۱۲ نوع واکنش‌گر، حاوی انواع فلزات (Mⁿ⁺) به صورت جداگانه و در حضور آب اکسیژنه استفاده شده و عملکردشان از نظر حذف رنگ، با یکدیگر مقایسه گردیده‌اند که عبارتند از:

$\text{Fe}(\text{SO}_4)_2$, $(\text{NH}_4)_2\text{Fe}(\text{SO}_4)_2$, K_2FeO_4 , $\text{Fe}(\text{NO}_3)_3$, $\text{Al}_2(\text{SO}_4)_2$, K_2SO_4 , KNO_3 , $\text{Ce}(\text{SO}_4)_2$, $(\text{NH}_4)_2\text{Ce}(\text{NO}_3)_6$, NaNO_3 , Na_2SO_4 و $\text{Zn}(\text{NO}_3)_2$.

در بخشی از این مطالعه عملی بودن روش اکسایش پیشرفت‌ه بر روی یک نمونه حقیقی پساب صنعت کاغذسازی مورد بررسی قرار می‌گیرد. در این پژوهش معادلات سیستمیک^۹ شیمیایی درجه اول و درجه دوم برای توصیف مکانیسم حذف رنگ مورد ارزیابی قرار گرفتند.

7- Acid Green 20:(AG20)

8- Chemical Oxygen Demand:(COD)

9- Kinetic Equations

فقطنامه علمی ترویجی علم و فنون

بسته‌بندی

۲-۲- روش‌ها

کلیه روش‌ها بر مبنای کتاب روش‌های استاندارد APHA-AWWA⁶ [۲۰] انجام شده‌اند. غلظت نماینده در محلول آبی رنگ، به طور نمونه ۵۰ mg/L انتخاب گردید. آزمایش‌ها در یک بشر(راکتور) با ظرفیت ۱۰۰ mL و نیز حجم پساب مورد بررسی ۵۰ mL انتخاب گردید. با افزودن مقادیر مختلف کاتالیست فلزی و آب اکسیژن به پساب موجود در راکتور در (pH) مشخص، واکنش آغاز گردید و سرعت اختلاط rpm ۲۰۰ بود. نمونه‌ها در فواصل زمانی مشخص و طی ۶۰ دقیقه از راکتور خارج گردید و برای اندازه‌گیری غلظت رنگ باقی‌مانده، و به بیان دیگر اندازه‌گیری جذب، توسط دستگاه اسپکتروفوتومتر⁷ آماده‌سازی گردیدند. نتایج داده‌ها مشخص کرد که پس از ۱۰ دقیقه اکسیداسیون کامل شده و غلظت رنگ به تعادل می‌رسد و پس از ۱۰ دقیقه غلظت رنگ ثابت می‌ماند. اندازه‌گیری غلظت رنگ در محدوده طول موج ۴۰۰-۸۰۰ نانومتر با استفاده از دستگاه اسپکتروفوتومتر(UV-VIS-IKON922 سبز^۸) در مخلوط واکنش در زمان‌های مختلف و در طول موج حداقل^۹ ۶۱۰ نانومتر اندازه‌گیری شد. قبل از اندازه‌گیری رنگ نمودار درجه‌بندی(کالیبراسیون)^{۱۰} و با وجود محلول‌های استاندارد رنگ با غلظت مشخص، تهیه گردید سپس درصد راندمان حذف رنگ با استفاده از رابطه ذیل محاسبه گردید:

$$\text{درصد راندمان حذف رنگ} (\%) = \frac{C_0 - C_1}{C_0} \times 100 \quad (4)$$

Removal of dye efficiency (%) = $100 \times [(C_0 - C_1)/C_0]$
 کلیه آزمایش‌ها چند مرتبه تکرار گردیدند و تجدیدپذیری^{۱۰} با میزان خطای ۴٪ گزارش گردید.

۲- بخش تجربی

۱- مواد

کلیه مواد و واکنش‌گرهای مورد استفاده در این مطالعه از گردید تجزیه‌ای می‌باشند. رنگ "اسید سبز^{۱۰}" (فرمول مولکولی: $C_{22}H_{16}N_6S_2$ ، وزن مولکولی: gr/gmol ۵۸۶/۵۱ mol) طول موج حداقل^۹ ۶۱۰ نانومتر) از شرکت الوان ثابت/ایران خریداری شده است و بدون خالص‌سازی استفاده گردید، در(جدول ۱) ساختار مولکولی این رنگ ارائه شده است. کلیه واکنش‌گرهای کاتالیستی^۱ از نوع تجزیه ای می‌باشند. برای ساخت محلول‌های رنگی از آب دی‌آیونیزه استفاده شد. pH محلول با اسید کلریدریک ۰/۱ نرمال و هیدروکسید سدیم ۰/۱ نرمال تنظیم گردید. آب اکسیژن(پراکسید هیدروکسید با دانسیته ۱/۱۱ g/L و ۳۰% w/v) از شرکت مرک^۲/آلمان خریداری شد. در این تحقیق از پساب موجود در واحد حوضچه هضم پساب یک کارخانه کاغذ بهداشتی نمونه برداری گردید. اهم مشخصات نمونه پساب حقیقی اوایله کاغذسازی قبل از آمایش عبارتند از::

۱- کل جامدات معلق^۳: ۲۴ mg/L
۲- کل جامدات معلق^۴: ۱۶۷۰ mg/L
۳- COD: ۹۸۵ mg/L; pH: ۶/۸
۴- جامدات محلول^۵:

جدول ۱- ساختار مولکولی رنگ "اسید سبز^{۱۰}"

نام رنگ	ساختار مولکولی
اسید سبز ^{۱۰}	

- 6- American Public Health Association- American Water Works Association
7- Spectrophotometer
8- Calibration Curve
9- Removal of Dye Efficiency (%)
10- Reproduceability

فصلنامه علمی- ترویجی علوم و فنون

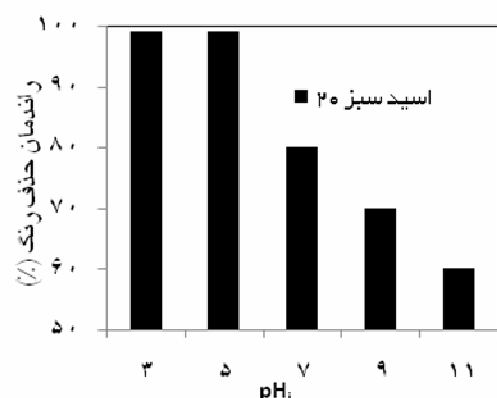
بسته‌بندی

- 1- Catalyst Reagents
2- Sodium Hydroxide
3- Merck
4- TSS:Total Suspended Solids
5- Total Dissolved Solids(TDS)

۳- دستاوردهای pH

۱- بررسی اثر pH

pH یکی از مهم‌ترین شاخص‌های مؤثر بر راندمان حذف رنگ در فرآیندهای فتون و شبه فتون است. pH نقش مهمی در تولید رادیکال‌های آزاد دارد که می‌توانند موجب افزایش راندمان اکسایش^۱ شوند. در پژوهش‌های گذشته به (pH) در محدوده ۴-۵-۶ اشاره شده است که در این محدوده اکسیداسیون^۲ فتون با موفقیت انجام گرفته است [۲۱ و ۲۲]. در این مطالعه اثر (pH) اولیه در محدوده ۳ تا ۱۱ بر روی راندمان حذف رنگ "اسید سبز" ۲۰ بروزی گردیده است و نتایج آن در (شکل ۱) ارائه شده است.



شکل ۱- بررسی اثر pH اولیه بر روی راندمان حذف رنگ "اسید سبز" ۲۰" (شرایط فرآیند: ۵۰ mg/L H₂O₂، ۱۰۰ mg/L [Fe²⁺]، ۲ mg/L آسید سبز ۲۰، ۲۰ rpm سرعت زمان واکنش، ۱۰ min: همزدن، ۵۰ mL حجم اولیه پساب).

بر اساس داده‌های (شکل ۱) بیشترین راندمان حذف رنگ در محدوده pH ۳ تا ۵ مشاهده می‌گردد، بنابراین به منظور آسیب کمتر و پرهیز از خوردگی در تأسیسات آمايش، ۵ pH: به عنوان pH بهینه انتخاب گردید. آقای تانگ [۲۳] در آزمایش خود مشاهده کرد که چنانچه pH تا میزان ۲ افت

کند، راندمان حذف رنگ به طور چشمگیر کم می‌شود زیرا یون‌های اضافی H⁺ در نقش رباينده OH⁻ ایفای نقش می‌کنند مطابق معادله ۵ در زیر [۲۳]:



در توضیحات (شکل ۱)، به سایر شرایط بهینه آزمایش بررسی اثر pH نیز اشاره شده است. مشاهده می‌گردد که در صد راندمان حذف رنگ "اسید سبز" ۲۰٪ برابر ۹۹٪ که با آزمایش‌های متواتی مشخص گردید که در مدت زمان اندک ۱۰ دقیقه، فرآیند اکسیداسیون به حالت تعادل خود می‌رسد و با صرف زمان بیشتر، غلظت باقی‌مانده رنگ همچنان ثابت باقی ماند. می‌توان چنین فرض کرد که حذف قابل توجه رنگ آنیونی "اسید سبز" ۲۰، در نتیجه افزایش نیروی الکترواستاتیک^۳ واکنش‌های فتون در شرایط اسیدی بهتر از شرایط خشی کارایی دارند این موضوع نیز در نشریات اشاره شده است [۲۴].

۲- اثر غلظت اکسیدهای آب

آب اکسیژنه (H₂O₂) در این فرآیند نقش مهمی را ایفا می‌کند. انتخاب غلظت بهینه H₂O₂ در فرآیند رنگ‌زدایی اکسیداسیونی از نقطه نظر قیمت تمام شده این واکنشگر نیز اهمیت فراوانی دارد [۲۵]. فرآیندهای اکسایش پیشرفت‌های (AOPs) در حقیقت توسط آن دسته از رادیکال‌های HO[•] هدایت می‌شوند که از واکنش مستقیم کاتالیزگر فلزی مانند یون آهن و واکنشگر H₂O₂ به وجود می‌آیند. بنابراین در غلظت‌های زیاد H₂O₂ مشاهده گردیده است که حتی راندمان حذف رنگ کاهش یافته است و در نشریات برای توجیه این اتفاق به معادلاتی اشاره شده است و چنین بیان شده که وقتی غلظت آب اکسیژنه زیاد باشد رادیکال‌های هیدروکسیل تولید شده نیز با هم مجدداً واکنش می‌دهند و به عبارت دیگر از محیط واکنش ناپدید می‌گردند. بنابراین ترکیب مجلد و نامطلوب رادیکال‌های

۳-۳- اثر غلظت کاتالیزگر فلزی

غلظت Fe^{2+} یا سایر یون‌های فلزی مانند آهن (III,IV)، سریم، پتاسیم، آلومینیوم، سدیم و روی] که در این مطالعه به عنوان کاتالیزگر مورد استفاده قرار می‌گیرند) کی از جمله شاخص‌های عملیاتی مهم در فرآیند اکسایش فتون است. از آنجا که پراکسید هیدروژن به تنهایی، به اندازه کافی قادر به اکسیده کردن مولکول‌های بزرگ مانند مولکول‌های رنگ در پساب‌های رنگی نیست بنابراین نیاز به آغازگر و شروع‌کننده واکنش واضح می‌باشد. در این مطالعه اثر غلظت یون آهن (آغازگر فرآیند فتون) در محدوده $0/5 - 10\text{ mg/L}$ به عنوان نماینده کاتالیزگر فتون مورد بررسی قرار گرفته است. بر اساس داده‌های (شکل ۳) مشاهده می‌گردد که با افزایش غلظت آهن از $0/5\text{ mg/L}$ تا 3 mg/L درصد راندمان حذف رنگ از 80 تا 99% افزایش می‌یابد پس از آن با اضافه کردن غلظت کاتالیزگر راندمان ثابت می‌ماند.

خطار نشان می‌سازد که شرایط بهینه تعیین شده در قسمت‌های قبلی یعنی در غلظت نماینده 50 mg/L از رنگ "اسید سبز ۲۰" و $\text{pH} 5$ و غلظت بهینه آب اکسیژنه 100 mg/L پس از گذشت ۱۰ دقیقه از واکنش، نیز در این مرحله هم مورد استفاده قرار گرفته‌اند.

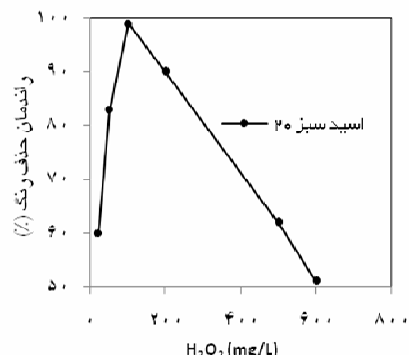
هیدروکسیل به صورت واکنش‌های ۶-۸ نشان داده می‌شوند [۲۶]:



بنابر آنچه در نشریات به آن اشاره شده، افزایش تدریجی آب اکسیژنه موجب انجام واکنش‌های فرعی و نامطلوب فوچ گردیده زیرا رادیکال آزاد هیدروکسیل تولید شده، از محیط واکنش‌های همزمان ۶ و ۹ اشاره شده و چنین توجیه می‌شود که آب اکسیژنه اضافه به خاطر اکسید کردن آلاینده آلی با رادیکال هیدروکسیل رقابت می‌کند و در نتیجه راندمان حذف کاهش می‌یابد زیرا در این منظر، خود آب اکسیژنه ربانده رادیکال آزاد می‌باشد (بر اساس معادلات ۶ و ۹ [۱۹] و [۲۷]):

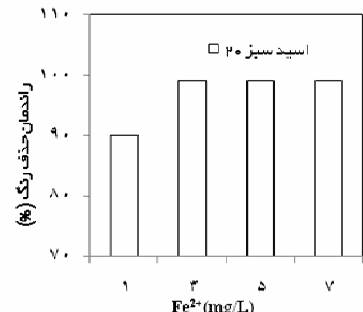


در این تحقیق بر اساس آنچه در (شکل ۲) مشاهده می‌شود، با افزایش غلظت اکسیدکننده از 20 تا 100 mg/L درصد راندمان حذف رنگ زیاد شده و به 99% رسیده و با افزایش مجدد غلظت اکسنده از 100 تا 100 mg/L درصد راندمان حذف رنگ از 99% به 50% نزول پیدا کرده است.



شکل ۲ بررسی اثر غلظت اکسنده پراکسید هیدروکسید بر روی راندمان حذف رنگ "اسید سبز ۲۰" (شرایط فرآیند: $\text{pH}: 5$, $\text{mg/L}: 50$, غلظت اولیه رنگ "اسید سبز ۲۰": $\text{mg/L}: 200$, $\text{rpm}: 200$, $\text{min}: 10$: زمان واکنش، $\text{Fe}^{2+}: 3\text{ mg/L}$: سرعت همزدن، $\text{mL}: 50$: حجم اولیه پساب).

براساس مشاهدات و نتایج آن که در (جدول ۲) ارائه شده است. مناسب‌ترین کاتالیزگرهای آهن با منشأ فرات پتاسیم و نیز سریم با منشأ آمونیوم سریم نیترات می‌باشند زیرا همانگونه که در (جدول ۲) توضیح داده شده با وجود هر یک از این کاتالیزگرهای فلزی، زمان واکنش اکسیداسیون شبه فتون کمتر از ۵ دقیقه به تعادل رسید و درصد راندمان حذف رنگ ۹۹٪ گردید و این در حالی است که دو کاتالیزگر دیگر یعنی سولفات آهن و سولفات آهن آمونیاکی پس از طی ۱۰ دقیقه توانستند که فرآیندهای به ترتیب فتون و شبه فتون را به درصد راندمان حذف رنگ ۹۹٪ هدایت کنند. می‌توان پیشگویی کرد که دلیل کارایی زیاد فرات پتاسیم در حذف سریع رنگ، خصوصیت دو جانبی آن است زیرا هم اکسنده قوی و هم منعقدکننده مناسبی است [۳۰] و در مورد آمونیوم سریم نیترات باید اذعان داشت که اکسنده بسیار قوی‌ای است [۳۱]. از نتایج (جدول ۲) چنین برمن آید که فلزهای آلومینیوم و روی، کمترین کارایی کاتالیزگری برای فرآیند شبه فتون را نشان می‌دهند. جاهدی و همکاران نیز در خصوص حذف رنگ‌های آبی آنیونی و کاتیونی مورد استفاده در صنعت کاغذسازی و بسته‌بندی و نساجی، نشان دادند که با استفاده از کاتالیزگر FeCl_2 در مدت کمتر از ۱ دقیقه دسترسی به درصد راندمان حذف ۹۹٪ می‌سازد [۳۲].



شکل ۳ - بررسی اثر غلظت کاتالیزگر فلزی بر روش راندمان حذف رنگ "اسید سبز ۲۰" (شرایط فرآیند: mg/L ۵۰: غلظت اولیه رنگ "اسید سبز ۲۰" ، L rpm: ۱۰ ، [H₂O₂]: ۱۰ min ، pH: ۵ : زمان واکنش، mL ۵۰: سرعت همزدن، mL ۵۰: حجم اولیه پساب).

از آنجا که بر اساس استاندارد، حداقل غلظت مجاز آهن در پساب برابر mg/L ۱۰ است بنابراین در این مطالعه نشان داده شد که با تنظیم سایر عوامل، غلظت آهن برابر mg/L ۳ گردید، و بدین ترتیب فرآیند فتون از اصول شیمی سبز تبعیت می‌کند. در معادلات ۳-۱ دلیل افزایش راندمان حذف رنگ با وجود افزایش غلظت کاتالیزگر فلزی آهن به خوبی ارائه شده‌اند. برای مقایسه نتایج این تحقیق با کارهای گذشتگان می‌توان به مطالعه آقای زو و همکاران اشاره کرد که برای حذف رنگ متیلن قرمز در مدت ۱۰ دقیقه با افزایش غلظت آهن، درصد راندمان حذف از ۴۵ به ۷۵٪ افزایش یافت [۲۸]. همچنین آقای باربوسینسکی^۱ برای حذف رنگ اسید قرمز ۱۸ از آب و پساب از L ۱۰۰۰ mg/Nano-Ahn (صفر ظرفیتی) استفاده کرد [۲۹]. در ادامه تحقیق با وجود مشخص شدن غلظت بهینه آهن دو ظرفیتی با منشأ FeSO₄ به میزان ۳ mg/L برای دسترسی به حداقل راندمان حذف رنگ "اسید سبز ۲۰" به میزان ۹۹٪، اثر سایر کاتالیزگرهای فلزی مانند آهن دو، سه و چهار ظرفیتی با منشأ سایر واکنشگرهایی چون سولفات آهن آمونیاکی، پتاسیم فرات، نیترات آهن، سولفات سریم، آمونیوم سریم نیترات و ... که در (جدول ۲)

2- Potassium Ferrate

فصلنامه علمی- ترویجی علوم و فنون

بسته‌بندی

1- Barbusiński

توسط فرآیند اکسایش پیشرفتہ فتوون قرار گرفته‌اند [شایط بهینه از نظر مصرف واکنش‌گرها و موارد دیگر در شکل ۴ مشخص هستند]. در(شکل ۴) غلظت اولیه رنگ بر حسب درصد راندمان حذف رنگ ترسیم شده است و مشخص گردیده که با افزایش غلظت اولیه رنگ از mg/L ۲۰ تا ۵۰، درصد راندمان حذف رنگ در بیشترین مقدار ۹۹٪ است و با افزایش غلظت رنگ از mg/L ۵۰ تا ۲۰۰ راندمان به تدریج افت می‌کند تا به ۹۰٪ رسدا و این در حالی است که اغلب پساب‌های کاغذسازی و بسته‌بندی در بیشترین مقدار غلظت رنگ، حاوی mg/L ۵۰ رنگ می‌باشد و علت بررسی غلظت زیاد رنگ تا ۲۰۰ mg/L فقط برای بررسی شایط بحران و نشی‌های غیرمتربه رنگ به پساب بوده است و خوشبختانه شایط بهینه تعیین شده نشان می‌دهند که فرآیند اکسایش پیشرفتہ حتی در غلظت‌های زیاد رنگ در پساب نیز کارایی حذف بالایی دارد. جاهدی و همکاران نتایج مشابهی را در این زمینه ارائه داده‌اند [۳۲].

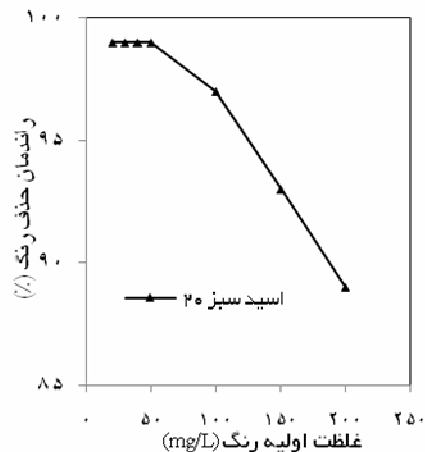
جدول ۲- بررسی اثر نوع کاتالیزگر فلزی بر روی درصد راندمان حذف رنگ "اسید سبز ۲۰".

درصد راندمان حذف رنگ (%)	کاتالیزگر فلزی واکنشگر اکسیدکننده	[M ⁿ⁺] (mg/L)
۹۹	Fe(SO ₄) ₂	
۹۹	(NH ₄) ₂ Fe(SO ₄) ₂	
۹۹*	K ₂ FeO ₄	
۸۴	Fe(NO ₃) ₃	
۶۹	Al ₂ (SO ₄) ₂	
۸۰	K ₂ SO ₄	H ₂ O ₂
۸۸	KNO ₃	
۸۰	Ce (SO ₄) ₂	
۹۹*	(NH ₄) ₂ Ce(NO ₃) ₆	
۸۰	Na NO ₃	
۸۰	Na ₂ SO ₄	
۷۰	Zn(NO ₃) ₂	

(شایط فرآیند ۵۰ mg/L: غلظت اولیه رنگ "اسید سبز ۲۰" ، ۳ mg/L: غلظت اولیه رنگ "اسید سبز ۲۰" ، ۱۰ min: زمان واکنش، ۵ pH: ۵: سرعت همزدن، mL: حجم اولیه پساب)

۳-۴- اثر غلظت اولیه رنگ "اسید سبز ۲۰"

در این مطالعه محلول حاوی رنگ "اسید سبز ۲۰" با غلظت‌های اولیه رنگ ۲۰۰-۲۰ mg/L مورد آمیش و تصفیه

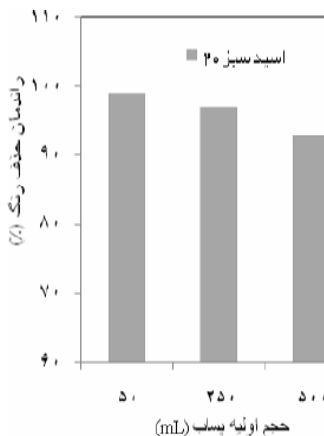


شکل ۴- بررسی اثر غلظت اولیه رنگ "اسید سبز ۲۰" بر روی راندمان حذف رنگ اسید سبز ۲۰ (شایط فرآیند: ۱۰ min: [H₂O₂]: ۱۰۰ mg/L، pH: ۵: سرعت همزدن، ۵ mL: حجم اولیه پساب).

۳-۵- اثر حجم اولیه و شدت جریان پساب و رودی در جریان غیر پیوسته^۱ و نیمه پیوسته^۲

بر اساس اصول توسعه روش‌های حذف از مقیاس آزمایشگاهی به نیمه صنعتی و فراتر از آن، یعنی به مقیاس صنعتی و سپس تجاری سازی روش، لازم است که شرایط بهینه شده در خصوص حذف رنگ در آزمایشگاه تا حد لازم گستردۀ شوند، در این مطالعه نیز شرایط حذف رنگ در دو مقیاس غیرپیوسته و نیمه پیوسته فراهم آورده شد. ابتدا در شرایط جریان غیر پیوسته پساب، اثر حجم اولیه پساب مطالعه گردید. یعنی علاوه بر حجم نمونه پساب که ۵۰ mL در نظر گرفته شد و شاخص‌های عملیاتی بهینه معرفی گردیدند (شرایط بهینه فرآیند عبارتند از: $[\text{H}_2\text{O}_2]: ۲۰ \text{ mg/L}$, $[\text{Fe}^{2+}]: ۳ \text{ mg/L}$, $\text{pH}: ۵$, 10 min : زمان واکنش، 200 rpm : سرعت همزدن) در همین شرایط بهینه، حجم اولیه پساب تا پنج و ده برابر افزوده شده یعنی پساب‌های با حجم‌های اولیه

گردید.



شکل ۵ - بررسی اثر حجم اولیه پساب حاوی رنگ "اسید سبز ۲۰" بر روی راندمان حذف رنگ "اسید سبز ۲۰" (شرایط فرآیند: 50 mg/L : غلظت اولیه رنگ "اسید سبز ۲۰", 200 rpm : سرعت همزدن, 10 min : زمان واکنش, 100 mg/L , $[\text{Fe}^{2+}]: 3 \text{ mg/L}$: pH)

بنابراین ضرورت دارد که همزمان با ارزیابی راندمان حذف رنگ، میزان تجزیه کامل رنگ (ماده آلی) به CO_2 و H_2O و نیز تبدیل شدن آن به سایر مواد غیرسمی، مورد ارزیابی قرار گیرد. برای دستیابی به این منظور، درصد راندمان حذف COD در این مطالعه به صورت زیر تعریف می‌گردد:

$$(10) \quad \text{درصد راندمان حذف COD} = 100 \times (1 - \frac{\text{COD}_t}{\text{COD}_0})$$

که در آن COD_t و COD_0 به ترتیب عبارتند از: مقدار COD در زمان t (بعد از انجام اکسیداسیون) و زمان 0 (قبل از اکسیداسیون) و برحسب mg/L بیان می‌شوند. اندازه‌گیری COD با استفاده از روش استاندارد آفا آوا^۳ (با کد B5220) و [۳۱] انجام گردید. در این پژوهش مشخص شد که بعد از گذشت زمان اکسیداسیون فتنون، به مدت ۱۰ دقیقه برای محلول 50 mg/L از رنگ "اسید سبز" در 5 pH و با مصرف آب اکسیژنه به میزان 100 mg/L و با غلظت یون آهن دو ظرفیتی به میزان 3 mg/L میزان درصد راندمان حذف COD برابر ۹۳٪ است. میزان بالای حذف، نشان‌دهنده تجزیه کامل رنگ به مواد غیرسمی است.

*آزمایش COD، بر روی نمونه پساب حقیقی کاغذ بهداشتی کرج که در بخش مواد اولیه مشخصات آن داده شد نیز مجدداً تکرار گردید و درصد راندمان حذف COD برای پساب حقیقی کاغذسازی به میزان ۹۰٪ بود که بیانگر عملی بودن روش فتنون و شبه فتنون برای آزمایش نمونه‌های حقیقی پساب است.

۳-۷- مطالعه سینتیکی رنگزدایی از محلول آبی "اسید سبز ۲۰" توسط فرآیند فتنون

در این مطالعه، با استفاده از مدل‌های سینتیکی^۴ و سرعت واکنش اکسیداسیون، برای توصیف و تجسم مکانیسم فرآیند رنگزدایی از پساب به کمک روش

در حالی که حجم پساب داخل راکتور 1500 mL بود. در این حالت نیز مدت زمان قرارگیری پساب تحت فرآیند فتنون نیز ۱۰ دقیقه بود. براساس آنچه که در (جدول ۳) مشاهده می‌گردد، در حجم اولیه 600 mL با افزایش شدت جریان پساب راندمان کاهش می‌یابد که همین نتیجه در مورد حجم اولیه 1500 mL نیز به دست آمد که این میزان چندان قابل توجه نیست.

جدول ۳- بررسی اثر شدت جریان پساب ورودی و حجم اولیه پساب بر حسب راندمان حذف رنگ "اسید سبز".

حذف رنگ (%)	حجم اولیه (mL)	شدت جریان پساب (L/h)	درصد راندمان
۹۳	۱۸	۶۰۰	
۸۹	۳۶	۶۰۰	
۹۱	۱۸	۱۵۰۰	
۸۶	۳۶	۱۵۰۰	

(شرایط فرآیند: 50 mg/L : غلظت اولیه رنگ "اسید سبز" 20 mg/L ، 10 min : زمان واکنش، 5 rpm : سرعت همزدن، نوع جریان پساب: نیمه پیوسته)

بنابراین در این بخش نشان داده شد که با توسعه شرایط آزمایشگاهی در مقیاس بزرگتر نیز هنوز فرآیند فتنون راندمان حذف بالایی دارد و این فرآیند قابلیت انجام حذف رنگ از پساب‌های رنگی را دارا می‌باشد و می‌توان اظهار داشت که هر چقدر شدت جریان پساب، کمتر باشد راندمان حذف رنگ بالاتر است. از سوی دیگر با مقایسه دو حجم 600 mL و 1500 mL می‌توان گفت که با افزایش حجم پساب راندمان از ۹۳٪ به ۹۱٪ کاهش می‌یابد.

۳-۶- بررسی کارایی روش فتنون در حذف^۱ COD از پساب حاوی رنگ "اسید سبز ۲۰".

از آنجا که حد واسطه‌ای مولکول رنگ که در نتیجه واکنش‌های اکسیده شدن رنگ‌های آزو به وجود می‌آیند، بسیار سمی‌تر از خود مولکول رنگ هستند، همچنین دوام و طول عمر این ترکیبات بیش از مولکول رنگ می‌باشد.

1- Chemical Oxygen Demand: (COD)

2- COD Removal (%)

3- Apha -Awwa

4- Kinetic Models

فصلنامه علمی- ترویجی علوم و فنون

بسته‌بندی

۴- نتیجه گیری

در این مطالعه نشان داده شد که با استفاده از فرآیندهای فتوون و شبه فتوون، تجزیه و تخریب رنگ "اسید سبز ۲۰" (که به عنوان نماینده مولکول‌های آلی سمی مورد استفاده در صنعت خمیر و کاغذسازی و بسته‌بندی انتخاب شده است) از آب و پساب میسر گردید. میزان تجزیه رنگ به مقدار آب اکسیژنه، Fe^{2+} ، غلظت اولیه رنگ و زمان واکنش بستگی دارد. همچنین در این مطالعه کارایی بسیاری از یون‌های فلزی دیگر مانند سریم، آلومینیوم، سدیم، پتاسیم و روی در شرایط یکسان، با یون‌های آهن دو یا چند ظرفیتی مقایسه گردید. شرایط عملیاتی مختلفی مورد ارزیابی قرار گرفتند و میزان شاخص‌های عملیاتی مهم و بهینه شده به صورت زیر معرفی گردیدند:

شرایط بهینه حذف رنگ "اسید سبز ۲۰" در 5°C ، $\text{pH} = 5$ ، 100 mg/L غلظت آب اکسیژنه 3 mg/L ، غلظت کاتالیزگر فلزی (آهن و سریم) بود که در مدت زمان 10 دقیقه بالاترین راندمان حذف رنگ 99.0% و بالاترین راندمان حذف (COD) به میزان 93% به دست آمد. می‌توان اظهار داشت که تجزیه و تخریب رنگ به مواد غیرسمی و

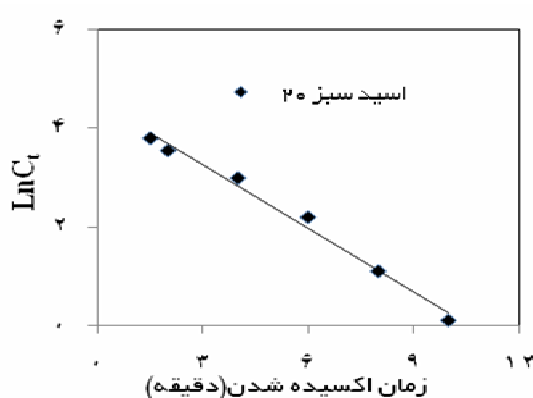
اکسیداسیون فتوون استفاده شده است. بدین ترتیب که رنگ‌زدایی از محلول 50 mg/L از رنگ "اسید سبز ۲۰" در مدت زمان 10 دقیقه و ثابت بودن سایر شرایط بهینه که در بخش‌های قبل به آن‌ها اشاره شد، مورد بررسی قرار گرفت. از جمله مدل‌های سیتیکی که در معادلات 11 و 12 ارائه شده‌اند، به ترتیب مدل سیتیکی درجه اول و مدل سیتیکی درجه دوم می‌باشند [۳۳]:

$$\ln(C_t) = \ln(C_0) - k_1 t \quad (11)$$

$$1/C_t - 1/C_0 = k_2 t \quad (12)$$

که در آن‌ها (C_t) و (C_0) mg/L ، t به ترتیب غلظت اولیه و غلظت باقی‌مانده رنگ در هر لحظه است.

مدل درجه یک و درجه دوم می‌باشند که مقدار k_1 از رسم نمودار $\ln(C_t)$ بر حسب زمان t (شکل ۶) و مقدار k_2 از رسم نمودار $(1/C_t)$ بر حسب زمان t به دست می‌آید. در این مطالعه بر اساس آنچه که در (شکل ۶) مشاهده می‌شود، مشخص گردید که داده‌های آزمایشی فقط با مدل سیتیک درجه اول، برازش و تطابق خوبی دارند به طوری که ضریب انطباق $R^2 = 0.987$ و ثابت سرعت $(k_1) = 0.43\text{ min}^{-1}$ تعیین گردید. خاطر نشان می‌سازد که در خصوص رنگ‌زدایی از "اسید سبز ۲۰" در نشريات پژوهش مشابه با اين تحقیق وجود ندارد؛ اما مقایسه منطقی با سایر نتایج نشان می‌دهد که مدل سیتیک درجه اول می‌تواند مکانیسم سرعت حذف رنگ را توجیه کند [۳۴].



شکل ۶- نمودار مدل سیتیک درجه اول برای اکسیداسیون فتوون رنگ‌زدایی از محلول حاوی رنگ اسید سبز ۲۰

7. Karaca,H., Smilanick, J. L. (2011). "The influence of plastic composition and ventilation area on ozone diffusion through some food packaging materials". Postharvest biology and technology, 62, (1), 85-88.
8. Ouyang, X., Tan, Y., Qiu, X. (2014). "Oxidative degradation of lignin for producing monophenolic compounds". Journal of fuel chemistry and technology, 42, (6), 677-682.
9. Chen, W., Yu, H., Liu, Y., Chen, P., Zhang, M., Hai, Y. (2011). "Individualization of cellulose nanofibers from wood using high-intensity ultrasonication combined with chemical pretreatments". Carbohydrate polymers, 83, (4), 1804-1811.
10. Maqsood, S., Al Haddad, N. A., Mudgil, P. (2016). "Vacuum packaging as an effective strategy to retard off-odour development, microbial spoilage, protein degradation and retain sensory quality of camel meat". LWT - Food science and technology, 72, 55-62.
11. Eskelinen, K., Särkkä, H., Kurniawan, T. A., Sillanpää, M. E. T. (2010). "Removal of recalcitrant contaminants from bleaching effluents in pulp and paper mills using ultrasonic irradiation and Fenton-like oxidation, electrochemical treatment, and/or chemical precipitation: A comparative study". Desalination, 255, (1-3), 179-187.
12. Merayo, N., Hermosilla, D., Blanco, L., Cortijo, L., Blanco, A. (2013). "Assessing the application of advanced oxidation processes, and their combination with biological treatment, to effluents from pulp and paper industry". Journal of Hazardous materials, 262, 420-427.

بی رنگ، به کمک این فرآیند با موفقیت انجام گردیده است. این نتایج برای شرایط پساب در مقیاس غیرپیوسته و نیمه پیوسته توسعه داده شد و مشخص گردید که این فرآیند پاسخگوی حذف رنگ از پساب‌های با حجم بیشتر و باشد جریان نیز می‌باشد. سرعت اکسیداسیون فتوئون با مدل سیستیک درجه اول تطابق قابل قبولی را نشان می‌دهد ($R^2 = 0.987$).

۵- منابع

1. Zaied, M., Bellakhal, N. (2009). "Electrocoagulation treatment of black liquor from paper industry". Journal of Hazardous materials, 163, (2-3), 995-1000.
2. Florenza, X., Solano, A.M.S., Centellas, F., Martínez-Huitel, C.A., Brillas, E., Garcia-Segura, S. (2014). "Degradation of the azo dye Acid Red 1 by anodic oxidation and indirect electrochemical processes based on Fenton's reaction chemistry. Relationship between decolorization, mineralization and products". Electrochimica Acta, 142, 276-288.
3. Ralph, G., Stahl, J. (1991). "The genetic toxicology of organic compounds in natural waters and wastewaters". Ecotoxicology and environmental safety, 22, (1), 94-125.
4. Pearce, C.I., Lloyd, J.R., Guthrie, J.T. (2003). "The removal of colour from textile wastewater using whole bacterial cells: a review". Dyes and pigments, 58 (3), 179-196.
5. McKay, G., Otterburn, M.S., Aga, D.A. (1985). "Fullers earth and fired clay as adsorbent for dye stuffs, equilibrium and rate constants". Water, Air, & Soil pollution, 24(3), 307-322.
6. Gregory, A. R., Elliot, J., Kluge, P. (1981). "Ames testing of direct black 38 parallels carcinogenicity testing". Journal of Applied Toxicology, 1(6), 308-313.

13. Xu, M., Wang, Q., Hao, Y. (2007). "Removal of organic carbon from wastepaper pulp effluent by lab-scale solar photo-Fenton process". Journal of hazardous materials, 148, (1-2), 103-109.
14. Glaze, W. H., Kang, J.W. (1987). "The chemistry of water treatment processes involving ozone, hydrogen peroxide and ultraviolet radiation", Journal of ozone science & Engineering, 9, 335-352.
15. Schiavello, M. (1988). "Photocatalysis & environment, Trends & Applications", Ishers dordechet, first ed.
16. Anantha Singh, T. S., Ramesh, S.T. (2014). "An experimental study of CI Reactive Blue 25 removal from aqueous solution by electrocoagulation using Aluminum sacrificial electrode: kinetics and influence of parameters on electrocoagulation performance". Desalination and water treatment, 52, 2634-2642.
17. Hashemian, S., Tabatabaei, M., Gafari, M.(2013). "Fenton oxidation of methyl violet in aqueous solution". Journal of chemistry, 509097, 1-6.
18. Hsueh, C.L., Huang, Y.H., Wang, C.C., Chen, C.Y. (2005). "Degradation of azo dyes using low iron concentration of Fenton and Fenton-like system". Chemosphere, 58, 1409-1414.
19. Hashemian, S. (2013). "Fenton-like oxidation of malachite green solutions: kinetic and thermodynamic study". Journal of chemistry, 809318, 1-7.
20. APHA-AWWA, WPCF. (2005). "Standard methods for the examination of water and wastewater", American public health association, Washington, DC, twenty-first ed.
21. Raquel, F., Nogueira, P., Guimarães, J. R. (2000). "Photodegradation of
- dichloroacetic acid and 2,4-dichlorophenol by ferrioxalate/H₂O₂ system". Water research, 34, 895-901.
22. Kang, Y. W., Hwang, K.Y. (2000). "Effects of reaction conditions on the oxidation efficiency in the Fenton process". Water research, 34, 2786-2790.
23. Tang, W. Z., Huang, C. P. (1996)."2,4-Dichlorophenol oxidation kinetics by fenton's reagent". Environmental technology, 17, 1371- 1378.
24. Jafari mansoorian, H., Bazrafshan, E., Yari, A., Alizadeh, M. (2014). "Removal of Azo dyes from aqueous solution using fenton and modified fenton processes". Health Scope, 3(2), e15507.
25. Sun, J. H., Sun, S. P., Wang, G. L., Qiao, L.P. (2007). "Degradation of azo dye Amido black 10B in aqueous solution by Fenton oxidation process". Dyes and pigments, 74 (3), 647-652.
26. Nidheesh, P.V., Gandhimathi, R. (2014)."Trends in electro-Fenton process for water and wastewater treatment: An overview". Desalination, 299, 1-15.
27. Huang, Y. H., Huang, Y.F., Chang, P.S., Chen, C.Y. (2008)."Comparative study of oxidation of dye-reactive black B by different advanced oxidation processes: Fenton, electro-fenton and photo-fenton". Journal of hazardous material,154 (1), 655- 662.
28. Zhou, M., Yu, Q., Lei, L., Barton, G. (2007)."Electro-Fenton method for the removal of methyl red in an efficient electrochemical system". Separation and purification technology, 57(2), 380-387.
29. Barbusiński, K., Majewski, J. (2003)."Discoloration of azo

- dye acid red18 by Fenton reagent in the presence of ironpowder". Polish Journal of environmental studies, 2, 151-155.
30. Wu, C., Jin, L., Zhang, P., Zhang, G., (2015). "Effects of potassium ferrate oxidation on sludge disintegration, dewaterability and anaerobic biodegradation". International biodeterioration & biodegradation, 102, 137-142.
31. Keshmirizadeh, E., Modarress, H., Didekhani, R., (2016). "The fast decolorization of reactive red 31(RR31) dyesolution by ceric ammonium nitrate (CAN)". Desalination and water treatment, 57, 12274–12280.
32. Jahedi, F., Modarress, H., Keshmirizadeh, E. (2016). "Decolorization of cationic and anionic textile blue dyes from aqueous solution with advanced oxidation process using H₂O₂ and various catalysts". Journal of applied chemical research, 10, 57-64.
33. Levenspiel, O. (1999). "Chemical reaction engineering", New York, NY: John Wiley & Sons, Inc., 3rd Edition, 48-49.
34. Ashraf, S. S., Rauf, M.A., Alhadrami, S. (2006). "Degradation of methyl red using fenton's reagent and the effect of various salts". Dyes and pigments, 69, 74–78.

آدرس نویسنده

استان البرز- گروه شیمی کاربردی- واحد کرج
دانشگاه آزاد اسلامی - کرج- ایران.